

# جذب دی اکسید کربن با استفاده از محلول آبی مایع یونی پروتیک [MEA][Gly]: مطالعه آزمایشگاهی و برآوردهای جداسازی

صادر حسنی زاده، پیوند واله شیدا<sup>\*</sup>، مهسا اکبری

گروه مهندسی شیمی، دانشگاه صنعتی کرمانشاه، کرمانشاه، ایران

**چکیده:** ویسکوزیته نسبتاً بالای مایع‌های یونی پروتیک، کاربردهای صنعتی آن‌ها را در فرایندهای جداسازی دی اکسید کربن محدود می‌کند. بدین منظور، عملکرد جذب تعادلی دی اکسید کربن در محلول آبی مایع یونی عامل‌دار شده با اسید آمینه گلایسین به نام مونواتانول آمین گلیسینات، [MEA][Gly]<sup>[1]</sup>، در بازه دمایی  $30^{\circ}\text{C}$ - $32^{\circ}\text{C}$ / $15\text{ K}$  و فشارهای تعادلی گوناگون مورد مطالعه قرار گرفت. نتیجه‌های نشان داد که در دمای ثابت  $K = 313/15\text{ K}$ ، با افزایش حضور آب در محلول از  $80\%$  به  $95\%$  وزنی، ظرفیت جذب دی اکسید کربن از  $(mol/mol)^{1/36}$  به  $(mol/mol)^{2/24}$  بهبود می‌یابد که معادل  $64\%$  افزایش در میزان بارگذاری است. همچنین، با استفاده از یک معادله درجه دوم، مقدارهای عددی بارگذاری دی اکسید کربن بر حسب فشار جزیی دی اکسید کربن برای همه غلظت‌های حلال به دست آمد، به گونه‌ای که نتیجه‌های محاسبه شده تطابق خوبی با نتیجه‌های به دست آمده از آزمایش‌ها داشت. علاوه بر این، اندازه گیری چگالی و ویسکوزیته محلول [MEA][Gly]<sup>[2]</sup> در بازه دمایی  $30^{\circ}\text{C}$ - $32^{\circ}\text{C}/15\text{ K}$  نشان داد که با کاهش حضور آب در محلول، مقدارهای آن‌ها به طور چشمگیری افزایش می‌یابد. سپس، با استفاده از معادله‌های تجزیی و همبستگی داده‌های تجزیی، مقدارهای چگالی و ویسکوزیته بر حسب دما و کسر مولی مایع یونی تعیین زده شد. همچنین، با استفاده از معادله کلازیوس-کلایپرون، مقدارهای گرمایی جذب دی اکسید کربن در محلول آبی مایع یونی مورد مطالعه، تعیین شد. سرانجام، مطابق نتیجه‌ها معلوم شد که اگر چه [MEA][Gly]<sup>[3]</sup> به عنوان یک جاذب نوین در فرایندهای جداسازی دی اکسید کربن معرفی می‌شود، لیکن، غلظت‌های بالای این حلال، به دلیل ویسکوزیته بالای آن، غلظت مناسبی برای جذب و جداسازی دی اکسید کربن نیست.

**واژگان کلیدی:** اسید آمینه، ویژگی‌های فیزیکی، دی اکسید کربن، جذب، مایع یونی، مونواتانول آمین گلیسینات

**KEYWORDS:** Amino Acid, Physical Property, Carbon Dioxide, Absorption, Ionic Liquid, Monoethanolamine Glycinate

## مقدمه

گاز طبیعی، منبع اصلی انرژی است، که به عنوان ماده خام در واحدهای صنعتی شیمیابی و پتروشیمی‌ها به کار می‌رود. وجود دی اکسید کربن در گاز طبیعی باعث کاهش ارزش گرمایی گاز،

+Email: P.valeh-sheyda@kut.ac.ir

\* عهده‌دار مکاتبات

برای کاربرد عملی آن‌ها در فرایندهای صنعتی جداسازی دی‌اکسیدکربن به شمار می‌رود، زیرا انرژی مورد نیاز برای جذب و احیای حلال به شدت افزایش می‌یابد [۸].

أخیراً، مایع‌های یونی با کاربی ویژه و یا مایع‌های یونی عامل دارشده<sup>(۱)</sup> با توانایی جذب شیمیایی به جای جذب فیزیکی، طراحی شده‌اند تا بر نقاط ضعف مایع‌های یونی معمولی در فرایندهای جداسازی دی‌اکسیدکربن غلبه کنند. مطالعه‌های پیشین در حوزه مایع‌های یونی عامل‌دار شده با آمین‌های پروتیک برای جذب دی‌اکسیدکربن نشان می‌دهد که حضور گروه‌های عاملی دوست‌دار دی‌اکسیدکربن، نظیر گروه‌های آمینو و اسید‌آمینه، در آئیون یا کاتیون عامل اساسی در افزایش توانایی جذب دی‌اکسیدکربن در این دسته از مایع‌های یونی به شمار می‌رود [۹]. در مایع‌های یونی عامل‌دار شده با اسید آمینه، حضور گروه N-H باعث می‌شود تا مکانیزم جذب دی‌اکسیدکربن در این دسته از مایع‌ها، مشابه آمین‌آلی باشد چرا که آن‌ها نیز به‌واسطه اصلاح آمینی مایع‌های یونی ساخته می‌شوند [۱۰]. تاکنون، تعداد زیادی از مایع‌های یونی عامل‌دار شده با آمین‌ستز شده‌اند و ویژگی‌های فیزیکی شیمیایی آن‌ها و نیز حلالیت تعادلی دی‌اکسیدکربن به عنوان تابعی از فشار و درجه گرما مورد بررسی قرار گرفته است [۱۱، ۱۲]. در این راستا، عملکرد مونوتانول آمین گلیسینات،  $[HO(CH_2)_2NH_3][OOCCH_2NH_2]$  [MEA][Gly]<sup>(۲)</sup> در جذب دی‌اکسیدکربن تنها در دمای K ۱۵/۳۹ و ۰/۱ MPa مورد بررسی قرار گرفته است [۱۳]. همچنین، طی یک فرایند جذب گاز غشایی، معلوم شد که مقدارهای بارگذاری دی‌اکسیدکربن در مایع یونی مورد نظر، از گلیسینات‌پتاسیم (Potassium glycinate)، به عنوان نمک اسید آمینه، و نیز MEA<sup>(۳)</sup>، به عنوان آمین نوع اول، به مراتب بیشتر است [۱۴]. ترتیج‌های جذب دی‌اکسیدکربن در مایع‌های یونی عامل‌دار شده با اسید آمینه گلاسین شامل<sup>(۴)</sup> [Bis(mim)C<sub>2</sub>Gly]<sup>(۵)</sup> و [Bis(mim)C<sub>4</sub>Gly]<sup>(۶)</sup> نشان داد که با افزودن حداقل ۶۰٪ آب به این گروه از جاذب‌ها، مقدارهای جذب دی‌اکسیدکربن بسیار موثرتر و سریع‌تر از حالت خالص آن‌ها است [۹].

از سوی دیگر، عدم شناخت کافی از ویژگی‌های فیزیکی مایع‌های یونی، تعیین اثرهای متقابل بین مولکولی و نیز اثرهای زیست‌محیطی آن‌ها یکی از موانع مهم در افزایش مقیاس این دسته از جاذب‌ها از آزمایشگاه‌های پژوهشی تا فناوری‌های در مقیاس صنعتی به شمار می‌رود. به بیان دقیق، عملکرد جذب گازهای اسیدی

تولید انرژی و صنایع، به دلیل اثرهای زیست‌محیطی آن بر شرایط آب و هوایی، همواره یک نگرانی جدی محسوب می‌شود [۱]. به این ترتیب، همواره این سوال مطرح است که چگونه می‌توان میزان انتشار دی‌اکسیدکربن را کاهش و یا آن را محدود نمود. یکی از محبوب‌ترین روش‌های جداسازی دی‌اکسیدکربن از گازهای به دست آمده از احتراق، استفاده از روش پس احتراق است، که به دلیل سهولت در عملیات و قابلیت افزایش مقیاس آن، در صنعت کاربرد فراوانی دارد. هم‌اکنون، در بسیاری از واحدهای تجاری جداسازی دی‌اکسیدکربن در دنیا، فرایند شیرین‌سازی در فناوری پس احتراق، به روش جذب شیمیایی و توسط محلول‌های آبی واکنش پذیر بر پایه آلانول‌آمین، صورت می‌گیرد [۲]. آلانول آمین‌ها دارای ویژگی‌هایی همچون پایداری گرمایی بالا، واکنش‌پذیری بالا با مولکول‌های دی‌اکسیدکربن و ظرفیت جذب بالا هستند [۳]. با وجود برتری‌های قابل توجه این دسته از محلول‌ها در جذب دی‌اکسیدکربن، آن‌ها دارای نقص‌ها متعددی نیز هستند: به عنوان مثال، می‌توان به هزینه بالای احیای حلال، هدررفت آمین فرار به علت تجزیه در طی احیا، اکسایش آمین‌ها، جذب آب به داخل گاز و نیز خوردگی تجهیزات به دلیل ویژگی‌های بازی حلال پایه اشاره نمود که خود باعث مصرف انرژی بالا در طول فرایند جذب و احیا می‌شود [۵، ۶]. نیاز مبرم به کاهش انتشار گازهای گلخانه‌ای در فناوری‌های جداسازی و ذخیره‌سازی کربن، توجه پژوهشگران را به توسعه حلال‌ها/جادب‌های نوین برای جذب و جداسازی دی‌اکسیدکربن به خود جلب نموده است.

امروزه، مایع‌های یونی، به عنوان حلال‌های سیز، سازگار با محیط زیست، و قابل احیا در بسیاری از فرایندهای پایدار جداسازی دی‌اکسیدکربن مورد توجه قرار گرفته‌اند. این دسته از مایع‌ها، که در دمای اتاق مایع هستند، دارای ویژگی‌های فیزیکی یگانه مانند فشار بخار ناچیز، حتی در دماهای صنعتی متدالو، ثبات گرمایی و شیمیایی بالا، اشتغال‌ناپذیری، حالت مایع در بازه گسترده دمایی، ماهیت قابل تنظیم ویژگی‌های فیزیکی و شیمیایی به واسطه ترکیب خاصی از کاتیون و آئیون، و نیز ظرفیت انحلال بسیار زیاد برای حذف گاز اسیدی هستند [۷، ۸]. با وجود این پیشرفت‌ها، روش‌های سنتز نسبتاً دشوار آن‌ها، هزینه‌های ابتدایی بالا، و ویسکوزیتی نسبتاً بالای آن‌ها حتی در حالت عاری از دی‌اکسیدکربن در مقایسه با سایر جاذب‌های تجاری موجود، از جمله معایب این دسته از مایع‌ها

(۱) Tasks-specific or functionalized ILs

(۲) 1,2-Bis (3-methylimidazolium-1-yl) ethane glycinate

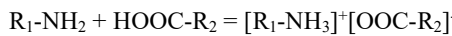
(۳) Monoethanolamine

(۴) 1,4-Bis (3-methylimidazolium-1-yl) butane glycinate

K<sub>323-303</sub> و غلظت‌های ۵ تا ۲۰ درصد وزنی با استفاده از روش کاهش فشار اندازه‌گیری تجربی و با مقدارهای به دست آمده از برازش داده‌های تعادل مایع-بخار تجربی مقایسه می‌شود.

### سنتر مایع یونی

با توجه به روش معمول سنتر مایع‌های یونی عامل‌دار شده با آمین‌های آلی هیدروکسیلی [Gly][MEA] در آزمایشگاه با استفاده از مواد اولیه مونوآتانول‌آمین با درجه صنعتی، آتانول و گالاکسین با خلوص جرمی ۹۹/۵٪ در طی سه مرحله شامل مرحله ختنی‌سازی، سنتر با تبخیر کننده روتاری، و مرحله خالص‌سازی مطابق با روشی که در مطالعه پیشین مولفان توضیح داده شد، سنتر و ساختار آن از مقایسه طیف‌های FT-IR با H NMR گزارش شده از منابع تایید شد [۲۰]. واکنش سنتر برای آماده‌سازی مایع یونی پروتیک مونوآتانول‌آمین گلیسینات در طرح ذیل نشان داده شده است. بر اساس واکنش تک مرحله‌ای ذیل، R<sub>1</sub>-CH<sub>2</sub>OH + R<sub>2</sub>=NH<sub>2</sub> یک گروه هیدروکسیلی است، و هر گروه آکلیلی شامل یک گروه هیدروکسیلی است، و R<sub>2</sub>=CH<sub>2</sub>NH<sub>2</sub> یک گروه آکلیلی است که دارای یک گروه آمین است. ساختار نهایی مایع یونی عامل‌دار شده با اسید آمینه، [Gly][MEA]، دارای یک گروه آمونیوم در کاتیون با یک گروه آمینو واکنشی در آئیون است.



**دستگاه آزمایش اندازه‌گیری میزان حلایت دی اکسیدکربن**  
طرح‌واره‌ای از دستگاه مورد استفاده در اندازه‌گیری حلایت گاز دی اکسیدکربن در فشارهای متوسط در شکل ۱ ارایه شده است. همان‌گونه که مشاهده می‌شود، دستگاه شامل یک سیلندر گاز، مخزن تزریق گاز و مخزن جذب تعادلی هریک با حجم‌های ۱۵۷ ml است که در یک حمام آب ترمومتریک برای رسیدن به دمای مورد نظر آزمایش قرار داده می‌شوند. بهمنظور افزایش حلایت یکنواخت گاز CO<sub>2</sub> در جاذب مایع، از یک همزن مغناطیسی با سرعت ۳۰۰ rpm استفاده شده است. هدف از استفاده از همزن در تمام آزمایش‌ها، کاهش زمان مورد نیاز برای عملیات جذب و نیز افزایش سرعت انتقال جرم برای دستیابی به تعادل است. یک پمپ آب به منظور ایجاد دمای یکنواخت حمام آب، در داخل حمام تعییه شده است. مخازن تعادلی و تزریق به ترتیب به سنسور دمای پلاستینیوم

در مایع‌های یونی با تعیین مقدارهای حجم مولی، تراکم‌پذیری و از روی مقدارهای چگالی قابل محاسبه است. در نتیجه ارزیابی ویژگی‌های فیزیکی-شیمیابی مایع‌های یونی برای انتخاب حلایت مناسب در فرایندهای جذب دی اکسیدکربن ضروری است. روش‌های تجربی و مولکولی گوناگونی برای پیش‌بینی ویژگی‌های فیزیکی-شیمیابی مایع‌های یونی مورد استفاده قرار گرفته است [۱۵]. در اغلب این معادله‌ها، وابستگی ویسکوزیته و چگالی مایع‌ها یونی تابعی از دما است و با استفاده از معادله‌های کمی بر اساس ساختار<sup>(۱)</sup> (QSPR)، معادله‌های خطی بر پایه معادله‌های سیالیت<sup>(۲)</sup>، معادله‌های VTF<sup>۲</sup>، و الگوریتم‌هایی که بر پایه معادله‌های آرنیوس<sup>(۳)</sup> [۱۹] بنا شده‌اند، ارایه شده است.

نظر به اهمیت مایع‌های یونی پروتیک عامل‌دار شده با اسید آمینه در فرایندهای جداسازی دی اکسیدکربن، مطالعه‌های تجربی در زمینه حلایت تعادلی دی اکسیدکربن، با تمرکز بر اثر حضور آب در فشار، و نیز درجه گرماهای گوناگون عملیاتی، بر عملکرد این دسته از مایع‌های یونی بسیار محدود است. از سوی دیگر، به منظور توسعه مناسب فناوری‌های جداسازی، ارایه معادله‌های ساده و در عین حال دقیق جهت تخمین مقدارهای بارگذاری و نیز ویژگی‌های فیزیکی بر حسب دما و غلظت حلایل‌های پروتیک بر پایه اسید آمینه یک موضوع مهم به شمار می‌رود که تاکنون بر روی آن مطالعه‌های زیادی صورت نگرفته است. مطالعه حاضر، با ارایه شناخت دقیق از رفتار مایع یونی سنتر شده در میزان جذب دی اکسیدکربن و ارزیابی معادله‌های تجربی در پیش‌بینی ویژگی‌های فیزیکی حلایل پروتیک جدید بر پایه اسید آمینه گلایسین در بازه غلظتی مشخص، می‌تواند در شناسایی و طراحی جاذب‌های دی اکسیدکربن در فرایندهای آتی جداسازی مفید باشد.

### بخش تجربی

در این مطالعه، ابتدا مایع یونی توسط اسید آمینه گلایسین عامل‌دار و سنتر می‌شود. بدین ترتیب، با ترکیب ویژگی‌های مطلوب آمین نوع اول به عنوان کاتیون و مایع یونی عامل‌دار شده با اسید آمینه به عنوان آئیون، اثر حضور آب بر ویژگی‌های فیزیکی حلایل، شامل ویسکوزیته، و چگالی در بازه دمایی K<sub>323-303</sub> در فشار محیط اندازه‌گیری و با مقدارهای به دست آمده از برازش مقایسه می‌شود. در گام بعدی، به منظور بررسی دقیق عملکرد مایع یونی پیشنهادی، حلایت تعادلی دی اکسیدکربن در محلول آبی مایع یونی، در بازه دمایی

(۱) Quantitative Structure-Property Relationship

(۲) Arrhenius

(۲) Vogel-Fulcher-Tammann

فشار سامانه به عنوان فشار تعادلی ثبت می‌شود. سپس فشار اولیه سامانه به نقطه بعدی همدما افزایش می‌یابد و این روند برای اندازه‌گیری کلیه داده‌های فشاری تکرار خواهد شد.

### اندازه‌گیری ویژگی‌های فیزیکی مایع یونی [MEA][GLY]

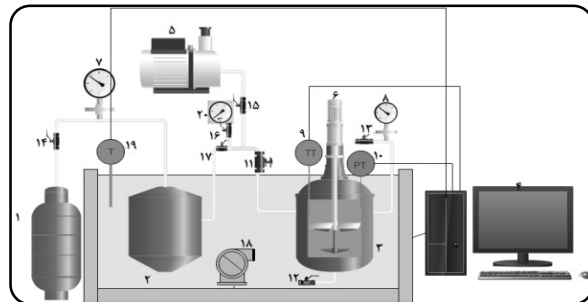
ویژگی‌های فیزیکی محلول سنتزی شامل ویسکوزیته، و چگالی مایع یونی در دمایا و غلظت‌های مورد نظر و در فشار اتمسفر توسط دستگاهها و روش‌های آنالیز ذیل اندازه‌گیری شدند. ویسکوزیته مایع یونی در فشار اتمسفر با استفاده از ویسکومتر موئین اندازه‌گیری شد. این نوع ویسکومتر، با استفاده از محلول استاندارد شرکت تامین کننده تجهیز، کالیبره شد. برای اندازه‌گیری ویسکوزیته محلول، ویسکومتر در یک حمام آب گرم دما ثابت قرار داده شد و درجه گرما با یک سامانه ترمومترات گرمایشی با دقت  $0.1^\circ\text{C}$  تنظیم شد. زمان عبور محلول توسط یک کرونومتر دیجیتال با دقت  $\pm 0.1\text{s}$  ثبت شد. تکرار پذیری اندازه‌گیری‌ها با اندازه‌گیری سه تکرار برای هر نمونه در حدود  $\pm 1\%$  تخمین زده شد. چگالی هر یک از محلول‌ها با یک پیکنومتر با حجم ۲۵ CC تعیین شد و جرم هر نمونه پس از برقراری تعادل گرمایی تعیین شد. از یک حمام آب مجهز به همزن، برای کنترل درجه گرما نمونه‌های اندازه‌گیری برای محاسبه چگالی محلول‌ها در دمایا گوناگون در بازه  $30^\circ\text{C}$  تا  $323^\circ\text{K}$  استفاده شد. پیش از انجام آزمایش‌ها، اعتبارسنجی داده‌های چگالی، با اندازه‌گیری چگالی آب خالص در بازه دمایی مورد نظر و مقایسه آن با داده‌ها در دیگر مقاله‌ها سنجیده شد. برای  $N$  دسته داده از یک کمیت مشخص ( $\bar{x}$ )، مقدارهای عدم قطعیت در اندازه‌گیری مقدارهای تجربی با استفاده از انحراف از اندازه‌گیری‌های تکراری مطابق معادله‌های زیر محاسبه شد.

$$\mu = \frac{1}{N} \sum_{i=1}^N x_i \quad (1)$$

$$\sigma_x = \sqrt{\frac{1}{N-1} \sum_{i=1}^N (x_i - \mu)^2} \quad (2)$$

$$RSD(\%) = 100 \frac{\sigma_x}{\mu} \quad (3)$$

براساس این معادله،  $\mu$ ،  $\sigma_x$  و  $RDS(\%)$  به ترتیب بیانگر متوسط داده‌های تجربی، انحراف استاندارد از کل داده‌ها و بزرگی نسبی انحراف استاندارد است. بدین ترتیب، مقدارهای بزرگی نسبی انحراف استاندارد (%) RDS برای چگالی و ویسکوزیته به ترتیب  $0.05\%$  و  $0.31\%$  به دست آمد.



شکل ۱ - شماتیک دستگاه اندازه‌گیری حلایت دی‌اکسیدکربن: (۱) سیلندر  $\text{CO}_2$ ، (۲) مخزن ذخیره گاز، (۳) مخزن تعادلی، (۴) کامپیوت، (۵) پمپ خلا، (۶) همزن، (۷-۸) گیج فشار، (۹) دماستنگ ترموکوپل، (۱۰) مبدل فشار، (۱۱) شیر سوزنی، (۱۲) شیر تخلیه، (۱۳-۱۷) شیر کنترل، (۱۸) پمپ، (۱۹) ترموکوپل، (۲۰) گیج خلا

کالیبره شده (PT100, unist at tango nuevo, Huber) و ترموکوپل (model ST-612, Standard Instrument Co. Ltd., Hong Kong) با دقت مطلق  $K \pm 1^\circ\text{C}$ . مجهر شده‌اند. یک پمپ خلا مدل (model DV-142 N-PLATINUM 5 CFM, JB company, USA) به منظور عاری‌سازی مخزن تعادلی از تمام گازهای موجود استفاده شد. پیش از انجام هر آزمایش، مخزن تعادلی دستگاه، محلول جاذب و نیز تمامی اتصالات، به مدت تقریباً ۲۰ دقیقه تمام توسط پمپ خلا عاری از گاز شد. مخزن جذب تعادلی مجهر به یک مبدل فشار کالیبره شده مدل (model A-10,wika, USA) با دقت  $\pm 0.5\%$  است. علاوه بر این، فشار در دو سلول با استفاده از گیج فشار کنترل می‌شود. داده‌های دما و فشار به هارد دیسک کامپیوت متصل شدند. آزمایش‌ها در سه دمای گوناگون شامل  $15^\circ\text{C}$ ،  $30^\circ\text{C}$  و  $313^\circ\text{C}$  و  $15^\circ\text{K}$ ، و در غلظت‌های  $5\%$ ،  $10\%$  و  $20\%$  وزنی مایع یونی [MEA][Gly] انجام شد. بدین منظور، ابتدا، حدود ۳۰ گرم از محلول آبی تازه به سلول راکتور وارد شد. پس از تزریق دی‌اکسیدکربن در مخزن تزریق گاز، و تنظیم دمای مورد نظر حمام، شیر سوزنی بین دو مخزن به منظور انتقال گاز دی‌اکسیدکربن به راکتور جذب باز شد تا جاذب مورد نظر شروع به جذب گاز نماید. با آغاز فرایند جذب، فشار گاز با گذشت زمان و به تدریج کاهش می‌یابد. در لحظات ابتدایی فرایند، فشار سامانه به دلیل اشباع نبودن محلول جاذب به سرعت در حال کاهش است. پس از مدت زمان مشخص، تغییرهای افت فشار و همچنین میزان جذب گاز توسط جاذب کاهش می‌یابد. در نهایت، مادامی که تغییرهای فشار در سلول تعادلی و کل سامانه به مدت ۸۰ دقیقه مشاهده نشود، حالت تعادل منظور خواهد شد و

(۱) Relative magnitude of the Standard Deviation

چگالی [MEA][Gly] در سه غلظت گوناگون و در دماهای ۳۰/۳/۱۵، ۳۱۳/۱۵ و ۳۲۳/۱۵ K، اندازه گیری و نتیجه ها در جدول ۱ نمایش داده شده است. همان گونه که مشاهده می شود، مقدارهای چگالی محلول آبی مایع یونی بسیار به آب نزدیک است. هنگامی که غلظت [MEA][Gly] افزایش می یابد، چگالی محلول های آبی مایع یونی، نیز به تدریج افزایش می یابند. در دمای ثابت مایع یونی، می توان روند کاهشی ذیل را با کاهش حضور آب برای چگالی محلول های سنتر شده در نظر گرفت:  $5\% \text{ وزنی} > 10\% \text{ وزنی} > 15\% \text{ وزنی} > 20\% \text{ وزنی}$ . از سوی دیگر، با افزایش دما از K ۳۰/۳/۱۵ به ۳۱۳/۱۵، چگالی هر یک از محلول ها به تدریج کاهش می یابد. به عنوان مثال، اختلاف چگالی محلول از دمای K ۳۰/۳/۱۵ به ۳۲۳/۱۵ در غلظت ثابت  $5\% \text{ وزنی} & 20\% \text{ وزنی}$  به ترتیب  $2/67\%$  و  $1/64\%$  است، که خود بیانگر اثرهای ناچیز دما بر تغییرهای چگالی است. بدین ترتیب، مقایسه اندازه گیری های چگالی به دست آمده از آزمایش ها، نتیجه های مطالعه های پیشین برای مایع های یونی بر پایه اسید آمینه را تایید می کند [۲۲، ۲۱]. علاوه بر این، چگالی اندازه گیری شده به عنوان تابعی از کسر مولی مایع یونی در دماهای مورد مطالعه با استفاده از معادله تجربی ذیل، تخمین زده شد [۲۳]:

$$\rho = b_1 + \frac{b_2}{T} (1 - \omega_1) \times \exp\left(\frac{b_3}{T} + \frac{b_4}{T} \omega_1 + b_5 \left(\frac{\omega_1}{T}\right)^2\right) \quad (7)$$

که  $\omega_1$  کسر وزنی [MEA][Gly] در مخلوط است، و  $b_1, b_2, b_3, b_4$  و  $b_5$  پارامترهای تطبیق داده شده بر معادله (۷) هستند. به منظور بررسی دقیق معادله پیشنهادی برای تخمین مقدارهای چگالی تجربی، میانگین مطلق انحراف نسبی  $AARD\%$  عنوان تابع هدف، مطابق ذیل تعریف شد:

$$AARD = \frac{1}{n} \sum_{i=1}^n \frac{|\rho_{exp} - \rho_{cal}|}{\rho_{exp}} \times 100 \quad (8)$$

شده و تعداد داده های آزمایشگاهی در دماها و غلظت های مورد مطالعه است. ضریب های مدل و میانگین انحراف نسبی در سه دمای ۳۰/۳/۱۵، ۳۱۳/۱۵ و ۳۲۳/۱۵ K در جدول ۱ ارایه شده است. مطابق جدول ۱، مقدارهای میانگین خطای نسبی در کلیه موارد از  $0/3\%$  کمتر است و نشان می دهد که مدل ریاضی پیشنهادی به طور قابل قبولی قادر به پیش بینی مقدارهای چگالی در سه دمای مذکور و در غلظت های مورد مطالعه است.

(۱) Peng-Robinson

(۲) Absolute Average Relative Deviation

**محاسبه های تئوری اندازه گیری حلایت تعادلی دی اکسید کربن**  
پس از انجام آزمایش های تجربی، تعداد مول های اولیه دی اکسید کربن در سلول تزریق ( $n_{CO_2, initial}$ ) از معادله (۴) قابل محاسبه است:

$$n_{CO_2, initial} = \frac{V_{inj}}{RT} \left( \frac{P_{inj, initial}}{Z_{initial}} \right) \quad (4)$$

که در آن  $V_{inj}$  حجم سلول تزریق گاز،  $Z_{initial}$  ضریب ها تراکم پذیری مربوط به فشار اولیه سلول تزریق ( $P_{inj, initial}$ ) در دمای ثابت  $T$  است. فاکتورهای تراکم پذیری با استفاده از معادله حالت PR محاسبه می شوند. تعداد مول های CO<sub>2</sub> که در فاز بخار و پس از ایجاد تعادل باقی می مانند ( $n_{CO_2, final}$ )، برابر است با:

$$n_{CO_2, final} = \frac{V_g (P_{eq, final} - P_{vap})}{Z_{CO_2} RT} \quad (5)$$

که در آن،  $V_g$ ،  $P_{vap}$ ،  $P_{eq, final}$  به ترتیب فشار تعادلی یا نهایی سلول، فشار بخار آب در دمای آزمایش، حجم کل سامانه و فاکتور تراکم پذیری دی اکسید کربن در فاز بخار راکتور هستند. حجم فاز بخار از اختلاف بین حجم راکتور و حجم محلول آبی آمین به دست می آید. حجم آبی آمین با استفاده از چگالی محلول آمین در دمای راکتور محاسبه می شود. سرانجام، میزان بارگذاری CO<sub>2</sub> که بر حسب تعداد مول های کل مایع یونی تعیین می شود، از معادله (۶) به دست می آید:

$$\alpha = \frac{n_{CO_2, initial} - n_{CO_2, final}}{n_{IL}} \quad (6)$$

تعداد مول مایع یونی در فاز مایع است. لازم به یادآوری است که فشار بخار مایع یونی در دماهای آزمایشی در مقایسه با فشارهای عملیاتی بسیار کم است، در نتیجه از تبخیر آن در طول آزمایش، صرف نظر شد.

## بحث و نتیجه ها

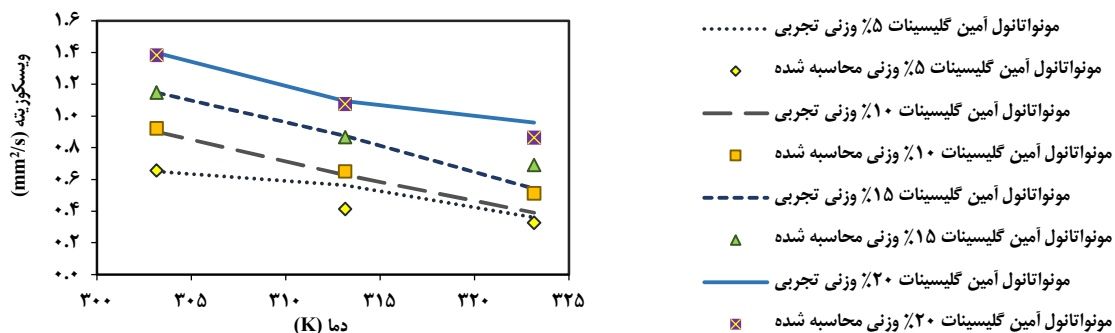
### ویژگی های فیزیکی محلول آبی [MEA][GLY]

ویژگی های فیزیکی جاذب ها برای طراحی فرایندهای جذب و ارایه دستورالعمل های عملیاتی نیاز است. در این راستا، چگالی یک پارامتر کلیدی برای محاسبه فاز گاز موجود در محفظه جذب با استفاده از روش افت فشار و نیز تخمین حلایت CO<sub>2</sub> در حال بشمار می رود. در نتیجه، بررسی چگالی به عنوان مشخصه اصلی مایع یونی مورد مطالعه، دارای اهمیت است. مقدارهای تجربی

(۲) loading

جدول ۱ - تغییرهای چگالی و پارامترهای مدل معادله (۷) بر حسب دما و کسر مولی مونواتانول آمین گلیسینات

غلظت(٪ وزنی)	دما (۳۰۳/۱۵ K)	دما (۳۱۲/۱۵ K)	دما (۳۲۳/۱۵ K)	b₁	b₂	b₃	b₄	b₅	AARD%
۵	۱/۰۰۴۸۸	۰/۹۹۶	۰/۹۷۸	۲۰/۹۸	۲۱۶/۹	-۷۱۷/۵	-۸۵۴/۸	۱/۲۶۵	۰/۰۶۷
۱۰	۱/۰۰۹۳۶	۰/۹۹۹۹۲	۰/۹۹۰۳۶						۰/۱۷۵
۱۵	۱/۰۱۴۴۴	۱/۰۰۷۸۸	۰/۹۹۳۹۶						۰/۲۵۳
۲۰	۱/۰۱۸۷۲	۱/۰۱۱۳۶	۱/۰۰۱۹۶						



شکل ۲ - مقایسه مقادرهای تجربی و مدل ویسکوزیته مونواتانول آمین گلیسینات بر حسب دما و غلظت

علاوه بر این، اندازه‌گیری‌های تجربی ویسکوزیته نشان می‌دهد که که ویسکوزیته محلول مونواتانول آمین گلیسینات با افزایش دما از ۳۰۳/۱۵ K به ۳۲۳/۱۵ K به طور چشمگیری کاهش می‌یابد که در مقایسه با کاهش مقادرهای چگالی با افزایش دما، قابل صرف‌نظر نیست. به نظر می‌رسد که بیشترین مقدار کاهش ویسکوزیته [MEA][Gly] با افزایش دما، مربوط به غلظت ۱۰٪ وزنی است. با این حال، در بین چهار غلظت مورد مطالعه، بیشترین مقدار ویسکوزیته محلول برابر  $1/399 \text{ mm}^2/\text{s}$  است، که متعلق به مایع یونی ۲۰٪ وزنی و دمای ۳۰۳/۱۵ K است. با افزایش دما به K ۳۲۳/۱۵ K حدود ۳۲٪ کاهش می‌یابد و به مقدار ویسکوزیته [MEA][Gly] حدود ۰/۹۵۷۳ رسیده است.

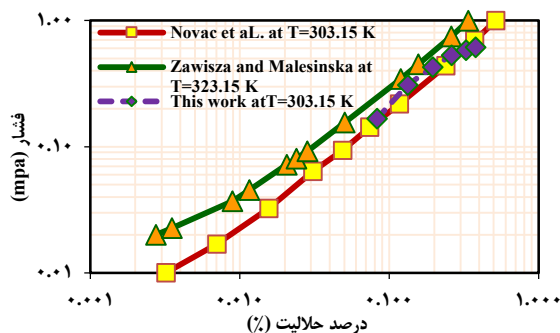
داده‌های تجربی ویسکوزیته مخلوط‌های مایع یونی، با پیروی از معادله (۹) در دمایها و غلظت‌های گوناگون و با استفاده از همبستگی داده‌های تجربی تخمین زده است [۲۳]:

$$\eta = (C_1 + \frac{C_2 x_1}{T} + \frac{C_3 x_1 x_2^2}{T^2}) \exp\left(1 + \frac{C_4}{T} + \frac{C_5 x_1 x_2}{T^3}\right) \quad (9)$$

در این معادله،  $x_1$  و  $x_2$  جز مولی مایع یونی و آب و ضریب‌های  $C_1, C_2, C_3, C_4$  و  $C_5$  ضریب‌های معادله هستند که از روش همبستگی معادله با داده‌های آزمایشگاهی بدست می‌آیند. همچنین، میانگین مطلق انحراف نسبی (AARD%) به عنوان تابع هدف برای

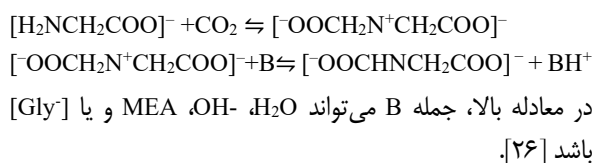
ویسکوزیته ویسکوزیته، یک ویژگی فیزیکی مهم برای ارزیابی سیستمی واکنش و انتقال جرم است. سرعت جذب دی‌اکسیدکربن در مایع‌ها یونی، به طور قابل توجهی به غلظت و ویسکوزیته محلول بستگی دارد، به گونه‌ای که غلظت‌های بالا و ویسکوزیته پایین هر دو نرخ جذب را بهبود می‌دهند. در حالت کلی، ویسکوزیته بالای مایع‌ها یونی به واسطه غلظت، میزان انتقال جرم و نرخ جذب را محدود می‌کند و زمان رسیدن به تعادل را نیز به طور چشمگیری افزایش می‌دهد [۶]. از سوی دیگر، غلظت بالای مایع یونی منجر به ویسکوزیته بالاتر محلول می‌شود. به این ترتیب، اثر غلظت مایع یونی بر نرخ جذب تاثیر منفی دارد.

مقدارهای ویسکوزیته [MEA][Gly] در سه غلظت گوناگون و در دمایهای ۳۰۳/۱۵ K - ۳۲۳/۱۵ K، اندازه‌گیری و نتیجه‌ها در شکل ۲ نمایش داده شده است. مطابق شکل ۲، در دمای ثابت ویسکوزیته محلول با کاهش حضور آب و افزایش غلظت [MEA][Gly] از ۵٪ وزنی به ۲۰٪ وزنی به طور چشمگیری افزایش می‌یابد. افزایش در ویسکوزیته محلول، باعث کاهش ضریب نفوذ گاز و کاهش میزان حلایلت می‌شود. لازم به توضیح است که ویسکوزیته محلول‌های آبی مایع‌های یونی، با جذب دی‌اکسیدکربن افزایش می‌یابد، و بدین ترتیب عملکرد جذب نیز کاهش می‌یابد [۲۴].



شکل ۳ - مقایسه بین منحنی حلایت خالص  $\text{CO}_2$  در آب در دمای  $303/15\text{ K}$  و فشار اتمسفریک با سایر منابع [۲۵]

ساختاری دارای دو گروه آمونیوم ( $\text{NH}_3^+$ ) در هسته کاتیون،  $\text{MEA}^+$ ، و آمینو ( $\text{NH}_2^-$ ) در آئیون  $[\text{Gly}]^-$  می‌باشد. بر اثر جذب شیمیایی دی‌اکسیدکربن در  $[\text{MEA}][\text{Gly}]^-$  می‌تواند تا حد زیادی جذب دی‌اکسیدکربن در محلول آبی مایع یونی بر پایه اسید آمینه را افزایش دهد. این بدان دلیل است که آئیون اسید آمینه،  $[\text{H}_2\text{NCH}_2\text{COO}]^-$  همانند الکلانول آمین نوع اول با دی‌اکسیدکربن واکنش می‌دهد [۲۱]. بدین ترتیب، مکانیسم مشهور زویترون قادر است جذب دی‌اکسیدکربن را مطابق واکنش ذیل توصیف نماید.



مطابق واکنش، ابتدا  $[\text{CH}_2\text{COO}]^- + \text{CO}_2 \rightleftharpoons [\text{OOCH}_2\text{N}^+\text{CH}_2\text{COO}]^-$  به عنوان واسطه زویترون، از روشن واکش دی‌اکسیدکربن با آئیون اسید آمینه،  $[\text{Gly}]^-$  بدست می‌آید. در مرحله پسین، زویترون توسط بازهای موجود در محلول، پروتون خود را ازدست می‌دهد و فراورده کاربامات  $[\text{OOCHNCH}_2\text{COO}]^-$  ایجاد می‌کند.

#### حلایت تعادلی محلول آبی $[\text{MEA}][\text{Gly}]$

اثر حضور آب

در کاربردهای صنعتی، همواره گاز طبیعی دارای مقدارهای نسبتاً زیادی بخار آب است. در نتیجه، غلظت جاذب به عنوان یک پارامتر کلیدی می‌تواند نقش موثری در حلایت گاز دی‌اکسیدکربن در جاذب مونواتانول آمین گلیسینات داشته باشد. از سوی دیگر، اضافه نمودن آب به محلول مایع یونی می‌تواند مشکل ویسکوزیته بالای این دسته از مایع‌ها را حین فرایند جذب برطرف سازد. بر این اساس، شکل ۴ نتیجه‌های بدست آمده از اندازه‌گیری بارگذاری

جدول ۲ - خریب‌های مدل معادله (۹) برای تخمین ویسکوزیته مونواتانول آمین گلیسینات برحسب دما و کسرمولی برای بازه دمایی  $323/15\text{ K} - 303/15\text{ K}$

دما (کلوین)	$C_1$	$C_2$	$C_3$	$C_4$	$C_5$	AARD%
$303/15$	-0.1282	170/2	49/27	130/1	-422200	1/12
$313/15$	-0.1282	170/2	49/27	130/1	-422200	8/16
$323/15$	-0.1282	170/2	49/27	130/1	-422200	19/44

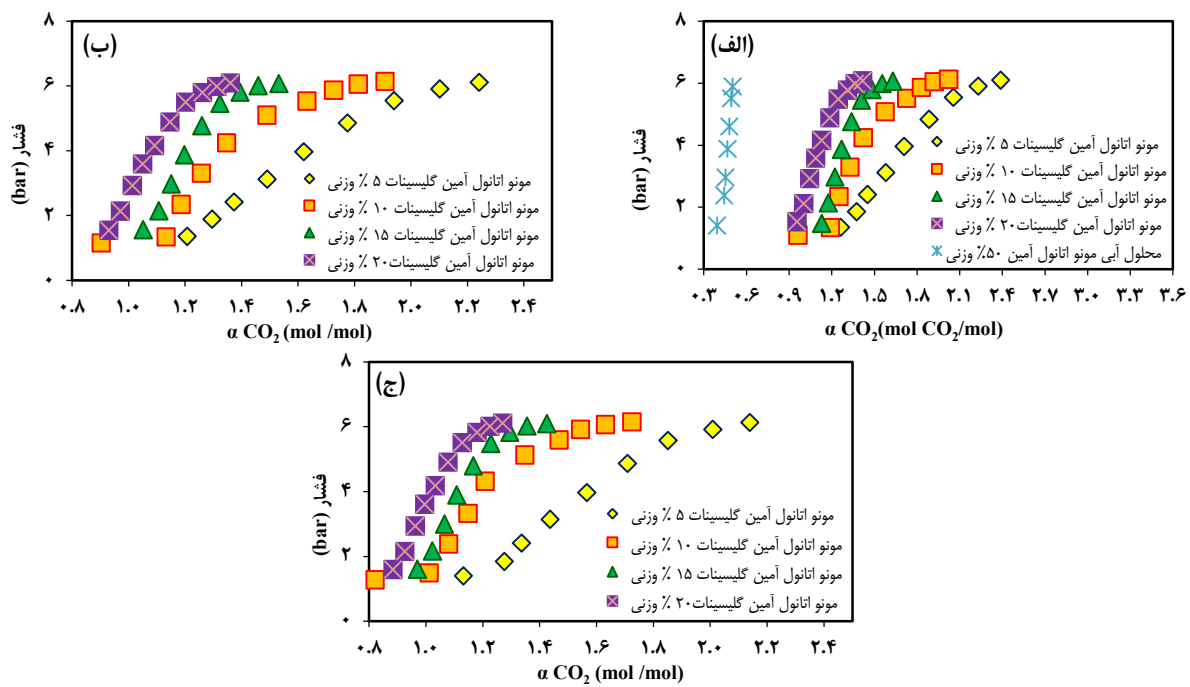
بهینه‌سازی پارامترهای برازش و به عنوان معیار همبستگی برای به‌حداقل رساندن مقدار خطأ، درنظر گرفته شد. خریب‌ها مدل برای تخمین ویسکوزیته مونواتانول آمین گلیسینات برحسب دما و کسرمولی و نیز مقادرهای میانگین مطلق انحراف نسبی در جدول ۲ نمایش داده شده است. مطابق جدول، در کلیه غلظت‌ها، بیشترین میزان انحراف در تخمین ویسکوزیته در دماهای بالای  $323/15\text{ K}$  مشاهده شده است. مقادرهای نسبتاً پایین خطأ در جدول ذیل نشان می‌دهد که معادله پیشنهادی قادر است در بازه‌های گوناگون غلظتی مورد مطالعه، ویسکوزیته  $[\text{MEA}][\text{Gly}]$  را با دقت قابل قبولی تخمین بزند.

#### اعتبارسنجی سامانه تعادلی مایع-بخار

پیش از استخراج داده‌های ترمودینامیکی، و به منظور ارزیابی اعتبار سلول تعادلی مورداستفاده در طی آزمایش‌ها، حلایت دی‌اکسیدکربن در آب دو بار تقطیر در دمای  $K = 303/15$  و در فشارهای تعادلی گوناگون با استفاده از سامانه تعادلی مایع-بخار تعیین، و شش نقطه هم‌دما در فشارهای تعادلی گوناگون به دست آمد. سپس، نتیجه‌ها با داده‌های تجربی که در آثار پیشین منتشر شده است، مقایسه شد [۲۵]. شکل ۳ اعتبارسنجی نتیجه‌های آزمایشی را با نتیجه‌های به دست آمده از این پژوهش نمایش می‌دهد. همان‌گونه که مشاهده می‌شود، داده‌های آزمایشگاهی به دست آمده در دمای  $K = 303/15$  بر داده‌های آزمایشی منتشر شده پیشین با تقریب نسبتاً خوبی منطبق است. به این ترتیب، نتیجه‌های به دست آمده از حلایت دی‌اکسیدکربن در آب در دمای محیط، صحت اندازه‌گیری‌های فعلی و عملکرد دستگاه را تأیید می‌نماید.

#### تعادل شیمیایی مایع-بخار

در اندازه‌گیری حلایت دی‌اکسیدکربن در محلول آبی مایع یونی  $[\text{MEA}][\text{Gly}]$ ، به دلیل ساختار مولکولی  $[\text{MEA}][\text{Gly}]$ ، یک تعادل شیمیایی مایع-بخار روی می‌دهد.  $[\text{MEA}][\text{Gly}]$  به عنوان یک مایع یونی عامل دار شده با اسید آمینه، به لحاظ



شکل ۴ - داده‌های تعادلی مایع یونی در غلظت‌ها و دماهای گوناگون: (الف) ۳۲۳/۱۵ K، (ب) ۳۱۳/۱۵ K و (ج) ۳۰۳/۱۵ K

محلول مایع یونی، ویسکوزیته محلول [MEA][Gly] در دمای ثابت K ۳۱۳/۱۵، به میزان ۱/۹۱ برابر کاهش می‌یابد. در نتیجه، با افزایش حضور آب، ویسکوزیته [MEA][Gly] کاهش و در نتیجه ظرفیت جذب دی‌اکسیدکربن در غلظت‌های پایین مایع یونی بهبود می‌یابد. علاوه بر این، در کلیه دماهای مورد آزمایش، محلول آبی با ۵ % وزنی مایع یونی، دارای بیشترین مقدار بارگذاری دی‌اکسیدکربن در فشار تعادلی معلوم است. مقایسه مقدارهای بارگذاری محلول آبی ۵۰٪ وزنی مونوآتانول آمین (MEA) با محلول آبی مایع یونی در دمای K ۳۰۳/۱۵ نشان می‌دهد که ظرفیت جذب دی‌اکسیدکربن در آمین متداول نوع اول در بازه فشارهای تعادلی مورد مطالعه در مقایسه با محلول آبی [MEA][Gly] کمتر است به‌گونه‌ای که سرانجام ظرفیت جذب آن به ۰/۵ mol/mol می‌رسد. این مقدار جذب مولی، به علت تشکیل واسطه کربامات، بیشینه مقدار جذب برای آمین نوع اول است.

نتیجه جالب دیگر آن است که واکنش شیمیایی بین دی‌اکسیدکربن و محلول آبی [MEA][Gly] در فشارهای تعادلی پایین روی می‌دهد، بهطوری که افزایش بیشتر فشار به بیش از ۵ bar، تنها جذب فیزیکی را بهبود می‌بخشد. به این ترتیب، از روی منحنی هم‌دما داده‌های فشار تعادلی بر حسب بارگذاری،

دی‌اکسیدکربن در محلول آبی مایع یونی مونوآتانول آمین‌گلیسینات را در بازه فشارهای تعادلی ۰-۵/۵ bar برای چهار غلظت گوناگون محلول آبی مایع یونی شامل ۵ تا ۲۰٪ وزنی در دماهای ثابت K ۳۰۳/۱۵ تا ۳۲۳/۱۵ نشان می‌دهد.

نتیجه‌های به دست آمده از اثر افزایش فشار تعادلی از ۱ به ۵ bar بر ظرفیت جذب دی‌اکسیدکربن توسط جاذب در کلیه شکل‌ها نشان می‌دهد که افزایش فشار تعادلی یک روند صعودی دارد، هر چند که با افزایش بیشتر فشار تعادلی، شب نمودار کاهش می‌یابد. علاوه بر این، مقایسه مقدارهای گوناگون درصد وزنی آب در [MEA][Gly] نشان می‌دهد که اضافه نمودن آب می‌تواند تا حدود زیادی عملکرد ظرفیت جذب را بهبود بخشد. به عنوان مثال، در دمای ثابت K ۳۱۳/۱۵، با افزایش حضور آب در محلول از ۸۰٪ به ۹۵٪ وزنی، میزان ظرفیت جذب دی‌اکسیدکربن در جاذب از ۶۴ mol/mol به ۱/۳۶ mol/mol به ۲/۲۴ افزایش می‌یابد که معادل افزایش در میزان بارگذاری است. حضور گروههای هیدروکسیل در ساختار مولکولی مایع یونی باعث تشکیل پیوند هیدروژنی بین مولکول‌های [MEA][Gly] می‌شود، که خود افزایش ویسکوزیته مایع یونی را به ویژه در غلظت‌های بالا به همراه خواهد داشت. مطابق شکل ۲، با افزایش حضور آب از ۸۰٪ به ۹۵٪ وزنی در

جدول ۳ - مقدارهای متناظر مول جذب شده دی اکسید کربن در محلول آبی [Gly][MEA] در غلظت‌های ۵ تا ۲۰٪ وزنی در دمای ثابت K<sub>۳۰/۳/۱۵</sub>

۵٪ وزنی		۱۰٪ وزنی		۱۵٪ وزنی		۲۰٪ وزنی	
n (mol)	P <sub>eq</sub> (bara)	n (mol)	P <sub>eq</sub> (bara)	n (mol)	P <sub>eq</sub> (bara)	n (mol)	P <sub>eq</sub> (bara)
۱/۳۵۷	۰/۰۱۳۹۰۸۳۸	۱/۰۹۷	۰/۰۲۲۳۰۰۹۳	۰/۰۸۷	۰/۰۲۲۲۹۳۷	۱/۴۲۷	۰/۰۱۸۰۴۵۶
۱/۸۸۷	۰/۰۱۵۱۵۲۸۹	۱/۳۳۷	۰/۰۲۶۲۷۰۵۰۷	۱/۴۷۷	۰/۰۳۷۳۳۰۶۷	۱/۵۳۷	۰/۰۴۲۱۱۵۶۹
۲/۴۱۷	۰/۰۱۵۹۹۳۷۷	۲/۳۳۷	۰/۰۲۷۵۵۷۶۵۶	۲/۱۳۷	۰/۰۳۸۸۷۳۶۹	۲/۱۱۷	۰/۰۴۴۱۶۰۲۴
۳/۱۲۷	۰/۰۱۷۴۰۶۰۱	۳/۲۸۷	۰/۰۲۹۲۵۹۵۸۵	۲/۹۶۷	۰/۰۴۰۴۲۶۴۳	۲/۹۱۷	۰/۰۴۶۰۷۵۳۱
۳/۹۶۷	۰/۰۱۸۸۳۸۹۴	۴/۲۳۷	۰/۰۳۱۳۵۰۱۱۸	۳/۸۶۷	۰/۰۴۱۹۹۴۷	۳/۵۷۷	۰/۰۴۷۹۱۷۶۳
۴/۸۵۷	۰/۰۲۰۷۷۱۵۳	۵/۰۷۷	۰/۰۳۴۷۵۱۷۳۶	۴/۷۵۷	۰/۰۴۴۲۶۹۴۷	۴/۱۵۷	۰/۰۴۹۷۵۰۳۲
۵/۵۴۷	۰/۰۲۲۶۷۱۹۸	۵/۰۱۷	۰/۰۳۸۰۶۳۸۸۷	۵/۴۰۷	۰/۰۴۶۵۶۳۴۹	۴/۸۷۷	۰/۰۵۲۳۱۰۰۸
۵/۹۰۷	۰/۰۲۴۵۶۵۷۷	۵/۰۸۷	۰/۰۴۰۳۱۰۷۵۲	۵/۷۹۷	۰/۰۴۹۰۵۶۴۸	۵/۴۸۷	۰/۰۵۴۹۴۴۹۷
۶/۱۱۷	۰/۰۲۶۳۳۳۶۷	۶/۰۴۷	۰/۰۴۲۳۴۵۵۴۶	۵/۹۸۷	۰/۰۵۱۴۰۷۱	۵/۷۷۷	۰/۰۵۷۷۸۳۷۹
		۶/۱۲۷	۰/۰۴۴۵۷۰۵۹۸	۶/۰۶۷	۰/۰۵۳۹۳۲۰	۵/۹۷۷	۰/۰۶۰۱۲۹۶۷
						۶/۰۷۷	۰/۰۶۲۵۰۵۰۲

n تعداد نقاط داده‌های تجربی و p=۳ تعداد کل پارامترهای مدل را نمایش می‌دهد. پارامترهای "mod" ، "mes" و "α<sub>mod</sub>" به ترتیب نشان‌دهنده مقدارهای تجربی، مقدارهای مدل و متوسط داده‌های آزمایشی هستند. مقدارهای پارامترهای مدل و ضریب تعیین، در جدول ۴ گزارش شده‌است. ضریب‌های تعیین بالای ۰/۰۹۸ در جدول ذیل، نشان‌می‌دهد که مدل پیشنهادی در بازه فشاری ۱ bar-۶ bar و در دماهای مورد مطالعه، به خوبی قادر است مقدارها فشار جزی را بر حسب داده‌های بارگذاری دی اکسید کربن پیش‌بینی نماید.

#### اثر دما بر بارگذاری

شکل ۵، نتیجه‌های ظرفیت جذب دی اکسید کربن در محلول آبی ۵٪ وزنی [Gly][MEA] را به صورت تابعی از دما ارایه می‌دهد. نتیجه‌ها به طور واضح نشان می‌دهد که با افزایش دما از ۳۰/۳/۱۵K به ۳۳۳/۱۵K، حلالیت تعادلی گاز اسیدی در محلول روند کاهشی دارد، به طوری که در کلیه فشارهای تعادلی، کمترین مقدار بارگذاری متعلق به دمای K<sub>۳۰/۳/۱۵</sub> است. این امر بیانگر آن است که مولکول‌های CO<sub>2</sub> که به‌واسطه جذب شیمیایی در محلول آبی [MEA][Gly] حل شده‌اند، قادر نیستند به طور موثری آزاد شوند، مگر این که دما به طور موثری افزایش یابد. در حقیقت، پیوندهای شیمیایی بین مولکول CO<sub>2</sub> و آنیون‌های بر پایه اسیدامینه،  $-[GLY]$ ، با افزایش دما ضعیف می‌شوند. بدین ترتیب، نیروی پیوندی بین آن‌ها به دلیل انرژی سیستمک بالای بین آنیون‌ها و CO<sub>2</sub> شکسته می‌شود [۲۷]. در نتیجه، دما بر ظرفیت جذب دی اکسید کربن در محلول آبی مونواتanol آمین گلیسینات تاثیر نامطلوب دارد. بر اساس

بازه مکانیزم‌های جذب فیزیکی و شیمیایی به خوبی قابل تشخیص است. لازم به یادآوری است نظر به این که زمان رسیدن محلول جاذب به تعادل برای هر غلظت متفاوت است، امکان مقایسه دقیق فشارهای تعادلی امکان‌پذیر نیست.

جدول ۳ مقدارهای متناظر مول جذب شده دی اکسید در محلول آبی [Gly][MEA] را در غلظت‌های ۵ تا ۲۰٪ وزنی در دمای ثابت K<sub>۳۰/۳/۱۵</sub> نمایش می‌دهد. مطابق جدول، آب نقش مهمی در حلالیت دی اکسید کربن در مایع یونی ایفا می‌کند. با افزایش غلظت مایع یونی از ۵ به ۲۰٪ وزنی، مقدار مول دی اکسید کربن جذب شده به طور قابل توجهی افزایش می‌یابد. همچنین، مقدار کاهش حلالیت دی اکسید کربن در سامانه مایع یونی-آب با افزایش فشار به روشنی قابل دیده است. به عنوان مثال، برای محلول ۲۰٪ وزنی با افزایش فشار تعادلی از ۱/۴۲ bar به حدود ۰/۰۷ bar، مقدار مول دی اکسید کربن جذب شده، از ۰/۰۶۲ mol به ۰/۰۶۲ mol می‌رسد.

#### رابطه حلالیت دی اکسید کربن بر حسب بارگذاری

معادله چندجمله‌ای درجه دوم ذیل، برای برازش داده‌های فشار جزئی (P<sub>CO<sub>2</sub></sub>) بر حسب بارگذاری دی اکسید کربن به کار گرفته شد [۳۰]:

$$\ln P_{CO_2} = A(\ln \alpha)^2 + B(\ln \alpha) + C \quad (10)$$

که در آن A، B و C پارامترهای برازش هستند. برای ارزیابی انطباق داده‌های تجربی بر مدل پیشنهادی، مقدارهای ضریب تعیین ( $R^2$ ) به صورت ذیل تعیین می‌شود:

$$R^2 = 1 - \frac{\sum_{i=1}^n (\alpha_{mes} - \alpha_{mod})^2}{\sum_{i=1}^n (\alpha_{mes} - \bar{\alpha}_{mod})^2} \cdot \frac{n-1}{n-p} \quad (11)$$

جدول ۴ - پارامترهای محاسبه شده معادله (۱۰)، ضریب تعیین ( $R^2$ ) برای مخلوطهای مایع یونی مورد مطالعه

غلظت مایع یونی مونوتانول آمین گلیسینات	(K) دما	A	B	C	$R^2$
۵٪ وزنی	۳۰۳/۱۵	-۳/۵۲۱۳	۶/۲۷۸	-۰/۹۸۹۷	.۹۹۹۲
	۳۱۳/۱۵	-۳/۷۵۷۶	۶/۱۴۴	-۰/۷۰۸	.۹۹۹۷
	۳۲۳/۱۵	-۳/۰۱	۵/۱۵۲۷	-۰/۳۴۴۷	.۹۹۳۵
۱۰٪ وزنی	۳۰۳/۱۵	-۷/۹۰۷۸	۹/۳۶۷۲	-۰/۹۴۸۱	.۹۶۳۸
	۳۱۳/۱۵	-۸/۱۳۵۳	۸/۶۸۷۲	-۰/۴۸۹۶	.۶۲۸
	۳۲۳/۱۵	-۷/۳۳۴۶	۶/۴۸۲۷	.۳۹۲۵	.۹۸۲۴
۱۵٪ وزنی	۳۰۳/۱۵	-۱۵/۲۶۱	۱۲/۹۶۲	-۰/۹۳۲	.۹۹۴۸
	۳۱۳/۱۵	۱۳/۱۹۶	۹/۸۹۰۲	-۰/۰۳۷۹	.۹۹۵۴
	۳۲۳/۱۵	-۱۲/۳۸۹	۷/۵۲۶	.۶۷۲۸	.۹۹۵۲
۲۰٪ وزنی	۳۰۳/۱۵	-۱۲/۰۰۶	۶/۹۷۲	.۷۶۳۹	.۹۹۸۹
	۳۱۳/۱۵	-۱۳/۳۳	۶/۴۴۳۱	.۹۷۶۴	.۹۹۹
	۳۲۳/۱۵	-۱۲/۵۸۴	۵/۱۶۱۴	۱/۲۷۳۵	.۹۹۸۱

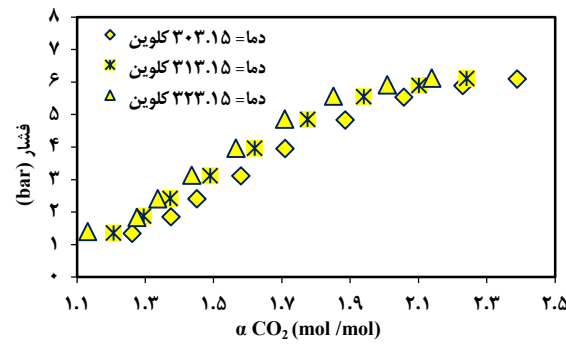
حال آن که در ستون دفع، گرما برای بازیابی گازهای اسیدی از محلولهای الکانول آمینی مورد نیاز است. در نتیجه، انرژی مورد نیاز برای احیای مایع یونی [Gly][MEA] به گرمای واکنش بستگی دارد که خود تعیین کننده بخش بیشتر هزینه‌های مربوط به ساخت است. برای تعیین میزان جذب گرما  $\text{CO}_2$  از معادله کلازیوس-کلایپرون<sup>۱</sup> مطابق ذیل، استفاده شده است [۳۱]:

$$\frac{-\Delta H_{abs}}{R} = \left( \frac{\partial \ln P}{\partial \left( \frac{1}{T} \right)} \right)_{\alpha_i} \quad (12)$$

که در آن ( $\Delta H_{abs}$  (kJ/mol.K) و  $R$  (۰/۰۰۸۳۱۴ kJ/mol.K) به ترتیب گرمای جذب دیفرانسیلی و ثابت گاز، و  $\alpha_i$  مقدارهای بارگذاری تعادلی معلوم هستند. سرانجام، با انتگرال گیری از معادله بالا،  $\Delta H_{abs}$  را می‌توان به طور تقریبی مطابق معادله (۱۳) در دو دمای گوناگون محاسبه نمود:

$$-\Delta H_{abs} = R \left( \frac{\ln P_2 - \ln P_1}{\frac{1}{T_2} - \frac{1}{T_1}} \right)_{\alpha_i} \quad (13)$$

که در آن  $P_i$  و  $T_i$  نشان‌دهنده فشار جزئی دی‌اسیدکربن و دما به ترتیب در دو نقطه گوناگون و در یک بارگذاری ثابت گاز است. بدین ترتیب، می‌توان از معادله (۱۳) به عنوان یک معادله تقریبی برای تخمین آنتالپی جذب دی‌اسیدکربن در سامانه مورد مطالعه استفاده نمود. شکل ۶ تغییرهای گرمای جذب  $\text{CO}_2$  را بر حسب بارگذاری گاز برای سامانه آبی [Gly][MEA] در بازه دمایی K ۳۰۳/۱۵-۳۲۳/۱۵ و در بارگذاری‌های مشخص در بازه ۰/۹ تا ۲/۱ نمایش می‌دهد.



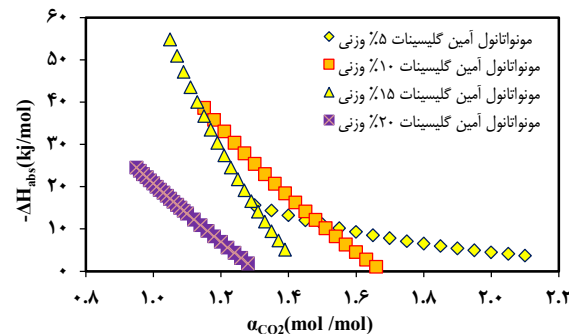
شکل ۵ - اثر دما بر روی حلایت گاز اسیدی کربن‌دی‌اسید در غلظت ۵٪ مایع یونی

مشاهده‌ای رفتار دمایی و داده‌های تعادلی موجود، به نظر می‌رسد که وابستگی دمایی در فشارهای بالاتر در مقایسه با فشارهای پایین‌تر محسوس‌تر است. علاوه بر این، ظرفیت جذب دی‌اسیدکربن در دمای K ۳۰۳/۱۵ و فشار تعادلی ۶/۰۹۷ bar برابر (۲/۳۸ mol/mol) بددست آمد که بیشترین مقدار در کلیه دماهای مورد مطالعه است.

#### گرمای جذب

محاسبه مقدار گرمای به دست آمده از جذب گازهای اسیدی در سامانه‌های مایع‌های یونی بر پایه اسید آمینه، به منظور طراحی برج دفع در واحدهای حذف گاز اسیدی ضروری به نظر می‌رسد. در یک برج جذب، گرما به‌واسطه واکنش‌های گرمای ایجاد می‌شود،

(۱) Clausius-Clapeyron



شکل ۶ - تغییرهای آنتالپی جذب  $\text{CO}_2$  در مقابل بارگذاری  $\text{CO}_2$  برای سامانه آبی مونوآتانول آمین گلیسینات در دماهای ۳۰۳/۱۵ و ۳۲۳/۱۵ K

نتیجه‌گیری

در این مطالعه، اثر حضور آب بر ظرفیت جذب تعادلی دی اکسید کربن در یک مایع یونی جدید عامل دار شده با اسید آمینه، به نام مونوآتانول آمین گلیسینات، [MEA][Gly]، در دماهای ۳۰۳/۱۵ تا ۱ K ۳۲۳/۱۵ برای فشارهای ۱a تا ۶ bar به صورت تجربی بررسی شد. نتیجه‌های تجربی بارگذاری دی اکسید کربن در محلول آبی مایع یونی و نیز همبستگی داده‌های فشار جزئی ( $P_{\text{CO}_2}$ ) بر حسب بارگذاری دی اکسید کربن، نشان داد که در کلیه دماهای مورد آزمایش، حضور آب در محلول، میزان بارگیری  $\text{CO}_2$  در جاذب را بهبود می‌دهد، به گونه‌ای که بیشترین مقدار بارگیری دی اکسید کربن معادل ۰/۲۸ mol/mol در دما ۳۰۳/۱۵ K و فشار تعادلی حدود ۰/۹۷ bar برای محلول آبی با ۵٪ وزنی مایع یونی، به دست آمد. همچنین، میزان بارگیری دی اکسید کربن با افزایش درجه گرما از ۳۰۳/۱۵ K تا ۳۲۳/۱۵ K کاهش می‌یابد، هر چند که در مقایسه با غلظت، درجه گرما جذب، تاثیر کمتری بر ظرفیت جذب مایع یونی داشت. نتیجه‌های اندازه‌گیری‌های تجربی و عددی ویژگی‌های فیزیکی [MEA][Gly] در دما و غلظت‌های گوناگون در فشار اتمسفر نشان داد که در یک دمای ثابت، مقدارهای چگالی، و ویسکوزیته محلول [MEA][Gly] با افزایش غلظت محلول به ترتیب زیر کاهش می‌یابد: ۵٪ وزنی > ۱۰٪ وزنی > ۱۵٪ وزنی > ۲۰٪ وزنی. ویسکوزیته محلول مونوآتانول آمین گلیسینات با افزایش دما از K ۳۰۳/۱۵ به ۳۲۳/۱۵ K به طور چشمگیری کاهش می‌یابد که در مقایسه با کاهش مقدارها چگالی با افزایش دما، قابل صرف‌نظر نیست. علاوه بر این، با انتگرال گیری از معادله کالازیوس-کلاپیرون، گرمای جذب  $\text{CO}_2$  در محلول آبی مایع یونی مورد نظر در بازه دماهای K ۳۲۳/۳۰۳-۱۵/۱۵ به دست آمد. نتیجه‌های وابستگی بارگذاری به آنتالپی جذب دی اکسید کربن، بیانگر تاثیر غلظت‌های گوناگون از حلال موردنظر بر مکانیسم جذب است. در پایان، اگرچه مایع‌ها یونی پروتیک بر پایه اسید آمینه گلایسین، از عملکرد نسبتاً خوبی برای جداسازی دی اکسید کربن برخوردار هستند، قابلیت احیا و بازیافت مجدد آن‌ها می‌باشد در آینده مورد مطالعه قرار گیرد.

### قدرتمندی

این پژوهش در قالب طرح پژوهشی شماره ۳/اط/ات/پ/اص با استفاده از اعتبارات پژوهشی دانشگاه صنعتی کرمانشاه انجام شده است.

تاریخ دریافت: ۱۲/۱۲/۱۳۹۹؛ تاریخ پذیرش: ۱۰/۰۳/۱۴۰۰

همان‌گونه که مشاهده می‌شود، در کلیه غلظت‌ها، با افزایش مقدارهای بارگذاری دی اکسید کربن، مقدارهای منفی آنتالپی (- $\Delta H_{\text{abs}}$ ) برای سامانه آبی مونوآتانول آمین گلیسینات کاهش می‌باید، لیکن، شبیه نمودار در غلظت‌های گوناگون مایع یونی متفاوت است. به عنوان مثال، برای محلول ۱۵٪ وزنی مونوآتانول آمین گلیسینات، بیشترین مقدارهای - $\Delta H_{\text{abs}}$  در  $a < ۱/۲$  مشاهده شده است. از سوی دیگر، کمترین میزان تغییرهای آنتالپی، برای غلظت ۵٪ وزنی و در بازه ۳/۷ تا ۱۴/۱ kJ/mol روز داده است. به نظر می‌رسد که مکانیسم جذب مهم‌ترین عامل تاثیرگذار بر روند سیر نزولی آنتالپی با افزایش مقدارهای بارگذاری باشد. این در حالی است که در اغلب موارد، واکنش شیمیایی جذب به دلیل ویژگی‌های شیمیایی MEA و در بارگذاری‌های پایین روز می‌دهد. هنگامی که MEA به واسطه واکنش اسید-باز و تشکیل یون کربامات مصرف می‌شود، شبیه نمودار کاهش می‌یابد، که نشان‌دهنده جذب فیزیکی است. در این حالت، با افزایش حضور آب در مایع یونی (در محلول ۵٪ وزنی از مایع یونی)، فرایند جذب برای بارگذاری‌های نزدیک و بیشتر از  $۱/۳ < a < ۱/۲$  عمدهاً به صورت فیزیکی است تا جایی که با افزایش مقدارهای بارگذاری، شبیه نمودار تقریباً کاهش می‌یابد.

در نهایت، در حالی که ویسکوزیته نسبتاً زیاد مایع یونی [MEA][Gly] ممکن است کاربردهای احتمالی آن را در واحدهای جداسازی  $\text{CO}_2$  که بر پایه آمین گلایسین محدود کند، فرصت‌های کافی برای طراحی انواع حلال با ویژگی‌های فیزیکی و شیمیایی بهبود یافته را مهیا می‌سازد. لیکن، انتظار می‌رود تهیه مایع‌های یونی نوین پروتیک بر پایه آنیون اسیدهای آمینه با مواد اولیه تجاری در دسترس، در سامانه‌های شیرین‌سازی گاز مفید واقع شود.

## مراجع

- [۱] بنیادی م، درست م، شریفی فرد ح، بررسی آزمایشگاهی تاثیر نانوپلیمر دارای نانوذرهای کربن فعال در جذب دی‌اکسیدکربن، نشریه شیمی و مهندسی شیمی ایران، ۱۶۳ تا ۱۵۳، ۴۱(۱) (۱۴۰۱).
- [۲] رستگار ز، قائمی ا، شیروانی م، مطالعه تجربی جذب کربن دی‌اکسید با استفاده از محلول آبی پتاسیم هیدروکسید، نشریه شیمی و مهندسی شیمی ایران، ۱۲۶ تا ۱۱۵، ۴۰(۱) (۱۴۰۰).
- [۳] علی وردی پور س، شکوهی م، سخائی نیا ح، بررسی اثر افزایش سولفولان در آنتالپی جذب و دفع  $H_2S$  در محلول‌های آبی متیل دی‌اتanol آمین با استفاده از داده‌های حلالیت، نشریه شیمی و مهندسی شیمی ایران، ۱۲۷ تا ۱۴۶، ۴۰(۱) (۱۴۰۰).
- [۴] Rashidi H., Valeh-e-Sheyda P., Sahraie S., A Multiobjective Experimental based Optimization to the  $CO_2$  Capture Process using Hybrid Solvents of MEA-MeOH and MEA-Water, *Energy*, 190: 116430 (2020).
- [۵] Shamiri A., Shafeeyan M., Tee H., Leo C., Aroua M., Aghamohammadi N., Absorption of  $CO_2$  into Aqueous Mixtures of Glycerol and Monoethanolamine, *Journal of Natural Gas Science and Engineering*, 35: 605-613 (2016).
- [۶] Usman M., Huang H., Li J., Hillestad M., Deng L., Optimization and Characterization of an Amino Acid Ionic Liquid and Polyethylene Glycol Blend Solvent for Precombustion  $CO_2$  Capture: Experiments and Model Fitting, *Industrial & Engineering Chemistry Research*, 55(46): 12080-12090 (2016).
- [۷] کامیاب مقدس ب، کاویانی س، مدل‌سازی عملیات جداسازی دی‌اکسید کربن از مخلوط گازی توسط غشاء الیاف توکالی پلی پروپیلن در حضور مایع یونی [4EtSO][Emim]، نشریه شیمی و مهندسی شیمی ایران، ۱۷۵ تا ۱۸۶، ۴۰(۳) (۱۴۰۰).
- [۸] Yaghini N., Nordstierna L., Martinelli A., Effect of Water on the Transport Properties of Protic and Aprotic Imidazolium Ionic Liquids—an Analysis of Self-Diffusivity, Conductivity, and Proton Exchange Mechanism, *Physical Chemistry Chemical Physics*, 16(20): 9266-9275 (2014).
- [۹] Zhang Y., Yu P., Luo Y., Absorption of  $CO_2$  by Amino Acid-Functionalized and Traditional Dicationic Ionic Liquids: Properties, Henry's Law Constants and Mechanisms, *Chemical Engineering Journal*, 214: 355-363 (2013).
- [۱۰] Yu K.M.K., Curcic I., Gabriel J., Tsang S.C.E., Recent Advances in  $CO_2$  Capture and Utilization, *Chemistry & Sustainability Energy & Materials*, 1(11): 893-899 (2008).
- [۱۱] Feng Z., Cheng-Gang F., You-Ting W., Yuan-Tao W., Ai-Min L., Zhi-Bing Z., Absorption of  $CO_2$  in the Aqueous Solutions of Functionalized Ionic Liquids and MDEA, *Chemical Engineering Journal*, 160(2): 691-697 (2010).
- [۱۲] Rayer A.V., Sumon K.Z., Sema T., Henni A., Idem R.O., Tontiwachwuthikul P., Part 5c: Solvent Chemistry: Solubility of  $CO_2$  in Reactive Solvents for Post-Combustion  $CO_2$ , *Carbon Management*, 3(5): 467-484 (2012).

- [13] Lu J.-G., Lu Z.-Y., Cao S., Gao L., Gao X., Wang J.-T., Tang Y.-Q., Chen Y., *Synthesis, Characterization, Physical Properties, and CO<sub>2</sub> Absorption Performance of Monoethanolamine Glycinate Ionic Liquid*, *Journal of Solution Chemistry*, **44(10)**: 1997-2007 (2015).
- [14] Lu J.-G., Ge H., Chen Y., Ren R.-T., Xu Y., Zhao Y.-X., Zhao X., Qian H., *CO<sub>2</sub> Capture using a Functional Protic Ionic Liquid by Membrane Absorption*, *Journal of the Energy Institute*, **90(6)**: 933-940 (2017).
- [15] Jouyban A., Mirheydari S.N., Barzegar-Jalali M., Shekaari H., Acree W.E., *Comprehensive Models for Density Prediction of Ionic Liquid+Molecular Solvent Mixtures at Different Temperatures*, *Physics and Chemistry of Liquids*, **58(3)**: 309-324 (2020).
- [16] Chen B.-K., Liang M.-J., Wu T.-Y., Wang H.P., *A High Correlate and Simplified QSPR for Viscosity of Imidazolium-based Ionic Liquids*, *Fluid Phase Equilibria*, **350**: 37-42 (2013).
- [17] Bini R., Malvaldi M., Pitner W.R., Chiappe C., *QSPR Correlation for Conductivities and Viscosities of Low-Temperature Melting Ionic Liquids*, *Journal of Physical Organic Chemistry*, **21(7-8)**: 622-629 (2008).
- [18] Geng T., Duan S., Jiang Y., Ju H., Wang Y., *Viscosity, Electrical Conductivity, Density and Surface Tension of Methyltriphenylphosphonium Carboxylate Ionic Liquids*, *Bulletin of the Chemical Society of Japan*, **92(3)**: 578-584 (2019).
- [19] Zhang Q., Cai S., Zhang W., Lan Y., Zhang X., *Density, Viscosity, Conductivity, Refractive Index and Interaction Study of Binary Mixtures of the Ionic Liquid 1-Ethyl-3-Methylimidazolium Acetate with Methyldiethanolamine*, *Journal of Molecular Liquids*, **233**: 471-478 (2017).
- [20] Akbari M., Valeh-e-Sheyda P., *CO<sub>2</sub> Equilibrium Solubility in and Physical Properties for Monoethanolamine Glycinate at Low Pressures*, *Process Safety and Environmental Protection*, **132**: 116-125 (2019).
- [21] Ma J.-W., Zhou Z., Zhang F., Fang C.-G., Wu Y.-T., Zhang Z.-B., Li A.-M., *Ditetraalkylammonium Amino Acid Ionic Liquids as CO<sub>2</sub> Absorbents of High Capacity*, *Environmental Science & Technology*, **45(24)**: 10627-10633 (2011).
- [22] Cai D., Saengprachum N., Lin Z., Qiu T., *Thermophysical Properties of 4-Dimethylaminopyridine based Ionic Liquids*, *Journal of Molecular Liquids*, **297**: 111875 (2020).
- [23] Aronu U., *Amine and Amino Acid Absorbents for CO<sub>2</sub> Capture*, Ph.D. Dissertation, Norwegian University of Science and Technology, (2011).
- [24] Lu J.-G., Fan F., Liu C., Zhang H., Ji Y., Chen M.-D., *Density, Viscosity, and Surface Tension of Aqueous Solutions of Potassium Glycinate + Piperazine in the Range of (288.15 to 323.15) K*, *Journal of Chemical & Engineering Data*, **56(5)**: 2706-2709 (2011).
- [25] Carroll J.J., Slupsky J.D., Mather A.E., *The Solubility of Carbon Dioxide in Water at Low Pressure*, *Journal of Physical and Chemical Reference Data*, **20(6)**: 1201-1209 (1991).

- [26] Shiflett M.B., Yokozeki A., Solubilities and Diffusivities of Carbon Dioxide in Ionic Liquids:[bmim][PF<sub>6</sub>] and [bmim][BF<sub>4</sub>], *Industrial & Engineering Chemistry Research*, **44**(12): 4453-4464 (2005).
- [27] Chen Y., Guo K., Bi Y., Zhou L., Phase Equilibrium of (CO<sub>2</sub>+ 1-Aminopropyl-3-Methylimidazolium Bromide+ Water) Electrolyte System and Effects of Aqueous Medium on CO<sub>2</sub> Solubility: Experiment and Modeling, *The Journal of Chemical Thermodynamics*, **107**: 65-78 (2017).